

IGCT 及其逆变电路的 PSpice 仿真

周 勇, 吕中宾

(郑州大学 电气工程学院, 河南 郑州 450002)

摘要: 集成门极换流晶闸管(IGCT)在中压领域的应用越来越广泛。利用 PSpice 软件包建立了 IGCT 的单 2T-3R 模型仿真电路, 并基于此模型对中压变频器中的逆变单元, 在载波频率为 800 Hz 时的三种情况(不考虑线路杂散电感、考虑较大杂散电感、考虑一种故障情况)进行了仿真和分析。提出 IGCT 不安装关断吸收电路只是在线路结构紧凑、杂散电感较小的场合; 否则要加装关断吸收电路。

关键词: 集成门极换流晶闸管; 中压变频器; 仿真

中图分类号: TN 344

文献标识码: A

文章编号: 1006-6047(2005)06-0077-03

近年来, 国内一些厂家也开始利用集成门极换流晶闸管(IGCT)开发各种电力电子产品, 在目前缺少足够运行参数的情况下, 对 IGCT 的行为特征进行建模仿真就显得尤为重要。在逆变器的设计和试验阶段, 对其进行计算机建模仿真分析, 有利于缩短开发周期, 改善和提高逆变器的性能, 减少试验次数, 避免无效投资^[1]。本文将介绍利用 PSpice 软件包对 IGCT 及其逆变电路仿真的方法和结果, 文中所用的参数来源于某公司正在研制的 IGCT 中压变频器。

1 IGCT 结构与工作原理

IGCT 是集成门极驱动电路和门极换流晶闸管(GCT)的总称, 其结构如图 1 所示。

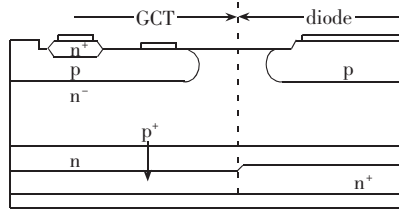


图 1 片内集成二极管的逆导型 IGCT
Fig.1 Reverse-conducted IGCT with integrated diode inside

IGCT 在工艺上采用了单元结构集成的方法, 其阴极被细分为许多个单元胞, 周围由门极包围, 形成所谓多阴极结构, 整个芯片的外面是反并联的快速二极管。

IGCT 的阳极 pnp 三极管, 是一只高压大电流的三极管, n 基区很厚, 在关断之始, n 基区有大量的存储电荷, 这就需要阳极电流有一定时间($1\sim2 \mu s$)去除这些电荷。由于其阴极 npn 三极管 a_{npn} 值较大, 即比较灵敏, 因此, 在这个时间内, 阴极三极管能够转出工作区, 这样当阳极电压上升时, 就不会有任何阴

极电流了, 即在关断时, IGCT 相当于一个基极开路的 pnp 三极管。在开通阶段, 数百安培的门极电流强脉冲迅速有效地使阴极 npn 三极管在晶闸管开关动作之前进入饱和区, 即使在非常高的 $d i / d t$ 的情况下, 开通损耗也几乎可以忽略^[2]。

2 IGCT 仿真模型

PSpice 是用于 PC 机的 Spice (Simulation program with IC emphasis) 版本^[3], 该软件主要用于电子电路的分析与设计。对 Spice 中原有的小功率器件的详细模型加以改造, 引入功率器件模型, 便可对电力电子电路进行模拟仿真。

在本文中, 建立 IGCT 模型的目的是研究逆变器的动态行为特征。由于 IGCT 的低电感(单元延迟可忽略), 故对其采用了单 2T-3R 子电路模型对其进行仿真^[4]。图 2 给出了 ABB 公司生产的型号为 5SHX04D4502 的 IGCT 仿真电路, $U_{DRM} = 4500 V$, $I_{TGQM} = 630 A$ 。

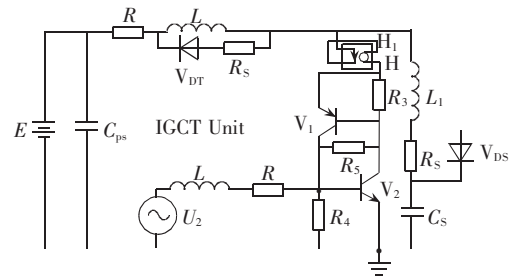
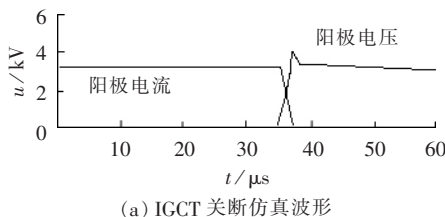
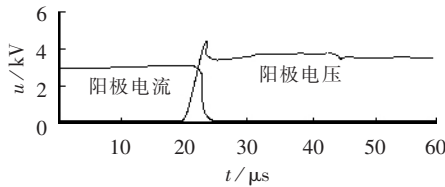


图 2 单 2T-3R IGCT 模型仿真电路
Fig.2 Single 2T-3R simulation model of IGCT

仿真结果如图 3(a)所示, 它与 IGCT 实测关断波形(如图 3(b)所示)相比较, 基本吻合, 从而较好地完成了对 IGCT 的仿真。但仍然存在一些差异: 仿真结果比较线性; 未能更详细的给出阳极峰值电压之后的振荡过渡过程。而用此模型去仿真逆变单元, 将具有足够的精度。



(a) IGCT 关断仿真波形



(b) 实测 IGCT 关断波形

图 3 IGCT 关断波形

Fig.3 The waveform of IGCT during turn-off

3 基于 IGCT 的逆变单元

仿真的中压变频器是针对火电厂风机系统而设计的,容量为 2 MV·A,交流电源由 6 kV 厂用电系统提供,经过三相 36 脉动整流后生成约 2.5 kV 的直流电压,再经过脉宽调制器(PWM)调制逆变后,输出三相 6 kV,0~50 Hz 的交流电压,每相均由 2 个逆变功率单元串联叠加组成,每个逆变单元的原理接线如图 4 所示。

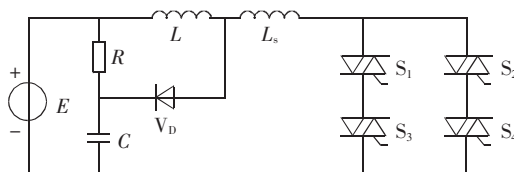


图 4 IGCT 逆变器逆变单元

Fig.4 Inverter unit of IGCT frequency converter

为便于观察逆变器的动态特征,在逆变器的仿真中采用了详细模型。图 4 中的 $S_1 \sim S_4$ 均采用图 2 所示单 2T-3R 仿真电路代替,且反并联一快速二极管,从而构成逆导型 IGCT 的 PSpice 模型。 R, V_D, L, C 分别是吸收电阻、钳位二极管、轭流电感和钳位电容,它们组成了逆变器的开通吸收回路,即轭流回路, L_s 为电路中的杂散电感。

由于对控制系统特性的仿真需要较长的时间,而本文关注的是逆变装置的特性,故在不失一般性的情况下,将控制环节用如图 5 所示的固定的信号源代替。用表函数(ETABLE, 图中的 E_1, E_2)对比较器建模,用于比较两个输入端的三角波载波信号和

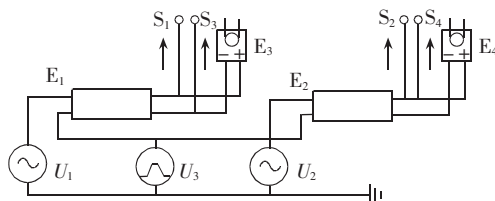


图 5 简化的逆变器控制电路

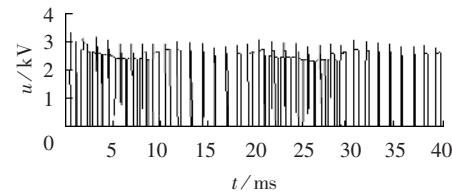
Fig.5 Simplified control circuit of inverter

正弦波参考信号的大小,并据此产生 PWM 控制信号,分别控制 S_1, S_2 (IGCT 单元);将压控电压源(E_3, E_4)控制端与 E_1, E_2 的输出端反接,其输出信号分别控制 S_3, S_4 (IGCT 单元)。

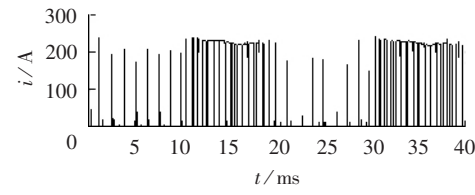
4 仿真与分析

在仿真过程中,载波频率为 800 Hz,分别仿真了以下三种情况。

a. 理想情况下,不考虑线路的杂散电感,加载阻性负载 $R_{load}=20 \Omega$,仿真波形如图 6 所示。



(a) IGCT 端部电压

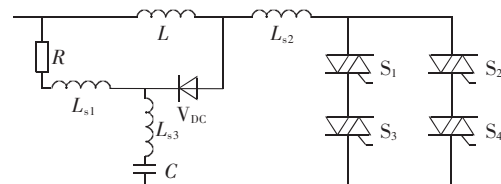


(b) IGCT 桥臂电流

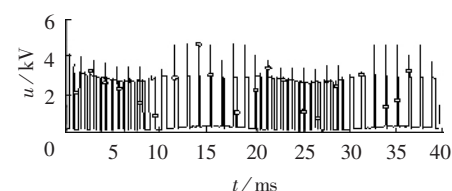
图 6 理想情况下的仿真波形

Fig.6 Simulative result under ideal conditions

b. 考虑较大的杂散电感。桥臂中的杂散电感对 IGCT 关断时产生过电压的大小和形状影响很大。逆变器的仿真电路中杂散电感的示意图如图 7(a)所示。其中 L_{s1} 为开通吸收电路中吸收电阻 R 支路的杂散电感,其数值跟吸收电阻的选型有关,一般在 100~500 nH 之间; L_{s2} 为换流回路的杂散电感,其数值跟主电路的机械结构设计有关,一般在 100~1000 nH 之间; L_{s3} 为开通吸收电路中电容支路的杂散电感,其数值跟吸收电容的选型有密切关系,一般 100~500 nH 之间^[5]。在仿真过程中,分别取 $L_{s1}=100 \text{ nH}$, $L_{s2}=400 \text{ nH}$, $L_{s3}=500 \text{ nH}$ 。同时加载感性负载, $R_{load}=20 \Omega$, $L_{load}=10 \text{ mH}$, 其他参数同 a, 仿真波形如图 7(b)和(c)所示。



(a) 杂散电感示意图



(b) IGCT 端部电压

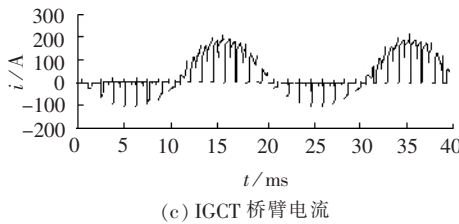


图7 考虑杂感情况下的仿真波形

Fig.7 Schematic diagram of stray inductances and its simulative results

c. 考虑一种故障情况,交流电源输入侧的中性点与逆变器交流输出侧LC滤波器中的电容接地点接至同一接地网,当电容器的容量较大时,例如取9000μF,其他参数同**a**,其仿真波形如图8所示。

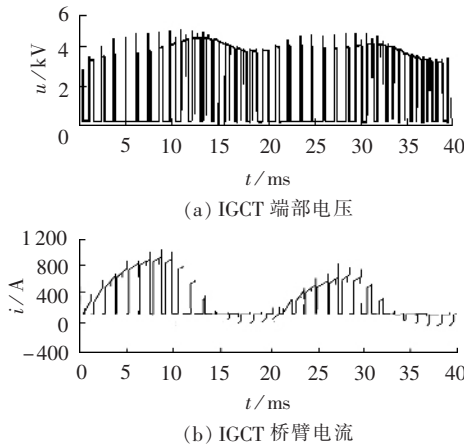


图8 故障情况下的仿真波形

Fig.8 Simulative results under accident condition

由仿真结果可以看出,对于情况**a**即理想情况的仿真,与理论结果相比,波形中出现了毛刺,这是由于电路中含有轭流电感的缘故,符合实际情况。

情况**b**最接近现场情况,仿真时所用的参数描述了结构比较松散,且电缆杂散电感比较大的情况,其仿真结果与实测结果基本吻合。当负荷较大时,由仿真结果可知,IGCT的端电压已经超过 U_{DRM} (4500V),IGCT可能击穿。在现场调试时,也测到了较大的上升电压。为了解决此问题,加装了关断吸收电容(0.047μF),从仿真和实测结果来看,大大改善了IGCT关断过程中的端电压。

而对于情况**c**,则是一种严重的故障状态,桥臂

电流远大于 $I_{TGQM}=630$ A。同时,IGCT所承受的电压在某些点上已超过 U_{DRM} (4500V),IGCT必定会被击穿乃至烧毁。

5 结论

根据仿真和分析结果,可以得出2点结论。

a. IGCT不安装关断吸收电路,是有条件限制的,要求线路结构紧凑,杂散电感较小。当主换流回路杂散电感较大时,必须加装关断吸收回路。

b. 通过PSpice仿真,可以再现故障状态,并可以人为模拟故障状态,在电力电子产品的研发阶段,可找出有关的运行数据,为产品调试提供依据,同时还可以缩短研制周期,节约开发经费。

参考文献:

- [1] MOHAN N, RONBBINS W P, UNDELAND T M, et al. Simulation of power electronics and motion control systems—An overview[J]. Proceeding of the IEE, 1994, 82(8): 1287–1302.
- [2] 杨大江,姚振华,朱长纯,等.新型功率器件(IGCT)的工作原理及其设计技术[J].电力电子技术,1999,(5):55–57.
YANG Da-jiang, YAO Zhen-hua, ZHU Chang-chun, et al. Principle and technology of new power electronic device IGCT[J]. Power Electronics, 1999, (5):55–57.
- [3] 贾新章,武岳山,贾冬. OrCAD/PSpice9实用教程[M]. 西安:西安电子科技大学出版社,2000.
- [4] 陈建业. 电力电子电路的计算机仿真[M]. 北京:清华大学出版社,2003.
- [5] 袁立强,赵争鸣,刘建政,等.基于IGCT的大功率NPC逆变器设计仿真与分析[J].电力自动化设备,2004,24(1): 46–53.
YUAN Li-qiang, ZHAO Zheng-ming, LIU Jian-zheng, et al. Design, simulation and analysis of IGCT-based high power NPC inverter [J]. Electric Power Automation Equipment, 2004, 24(1):46–53.

(责任编辑:汪仪珍)

作者简介:

周勇(1957-),男,河南信阳人,副教授,研究方向为电力电子技术在电力系统中的应用(E-mail: Zhouy@zzu.edu.cn);

吕中宾(1974-),男,河南南阳人,硕士研究生,研究方向为电力电子技术在电力系统中的应用。

PSpice simulation of IGCT and its inverter circuit

ZHOU Yong, LÜ Zhong-bin

(College of Electrical Engineering, Zhengzhou University, Zhengzhou 450002, China)

Abstract: IGCT(Integrated Gate Commutated Thyristor) is widely used in mid-voltage field. A single 2T-3R simulation model of IGCT is established with PSpice(Personal Simulation program with IC emphasis). Based on it, an inverter unit of mid-voltage frequency converter is simulated and analyzed at 800 Hz. Three conditions are involved: no line stray inductances, large stray inductances and accident. It is pointed out that the turn-off absorption circuit is unnecessary only in conditions of compact line structure and small stray inductances.

Key words: IGCT; mid-voltage frequency converter; simulation